

# IV-37 Elastica の曲線の曲線設置

日本大学工学部 正員 木村喜代治

(1) まえがき: 著者は第35回年講(IV-193)において路線の平面線形要素として Elastica の曲線を提案した(曲線の名前はここでそれをならうことにする)。またこの曲線は河川の自由蛇行形状によく合致しているので、蛇行河川の改修の際の法線形状として適当と思われる。そこで、それらの場合に Elastica の曲線を設置しようとするときに必要とする計算について述べる。

(2) 基本式: Fig. 1を参照し、曲率半径  $P$ 、長さの次元を有する定数( $\mu$  メートル)  $A$  とすると基本式は

$$P \dot{\phi} = -A^2 \quad (1)$$

この曲線はた円積分によって表わされ、周期関数で示された(母数  $\lambda$  が1のとき周期性は失なれる)。このときその解は初等関数によつて容易に表わされる。しかしここに利用する場合にあまり関係ないと思われる(ここでは小れない)。この曲線を大別すると変曲点のある場合(このとき変曲点は必ず  $x$  軸上にある)と変曲点のない場合とになる。

① 変曲点のある場合: ここに利用しようとする曲線形はほとんどこの曲線に属する。

$$\begin{aligned} A &= A F(R, \phi), \quad x = A [2E(R, \phi) - F(R, \phi)], \quad \lambda = 2R A \cos \phi = R A \csc u \\ a &= 2R A, \quad \theta = \sin(\theta_0/2), \quad \sin(\theta_0/2) = R \sin \phi \end{aligned} \quad (2)$$

$\lambda$  は Fig. 1 の頂点 M より図の方向に取った任意点までの曲線長、F, E はた円積分、中はその偏角(または F の振幅)、θ は曲線と x 軸とのなす角(最大  $\theta_0$ )。

② 変曲点のない場合:

$$\begin{aligned} A &= A F(R, \phi), \quad x = (A/R) \cdot [2E(R, \phi) - (2 - R^2) F(R, \phi)] \\ y &= (2A/R) \cdot \sqrt{1 - R^2 \sin^2 \phi} = (2A/R) \cdot dn u, \quad a = 2A/R, \quad c = (2A/R) \cdot \sqrt{1 - R^2} \\ b &= (2A/R) \cdot \sqrt{1 - R^2/2}, \quad k_p = \sqrt{1 - a^2/c^2}, \quad \theta = 2\phi \end{aligned} \quad (3)$$

(3) 基本関数の数値計算: Clothoid 曲線の場合曲線は1つであるが、Elastica 曲線の場合は無数にある。また曲線設置に必要とする各種関数の数値は関数表などによることもできるが、一般にそれらの表は実用上充分でない。そこで実用上充分な精度でそれらの数値を直接計算することを考える。

計算に便利なように長さの量は定数  $A$  で除し、記号  $\mu$  を付け(例へば  $\lambda = A/\lambda$  など)、Clothoid 曲線にならって単位 Elastica と称する。一般的の計算は単位 Elastica について行なうこととする。

設置すべき曲線が確定すれば、 $A$ ,  $\lambda$  などは既知量となる。そのとき曲線上の任意点は、通常ある点(例へば M 点)からその任意点までの曲線長が指定されることが多い。よつて必要とする計算は、このある点から指定された任意点の曲線長より、その任意点の諸要素の数値計算である。すなあち、 $F \equiv u$  とすると  $u$  と  $R$  とから任意点の中を求める、次いで中と  $R$  とから  $E(R, \phi)$  やその他の要素を計算することになる。

①  $u, R$  より中の計算: 数値計算の方法として、収束の早いものは下記のようになる(後述、積円函数論より転記)。

$$\begin{aligned} \phi &= e^{-\frac{\pi K'}{R}}, \quad v = \frac{u}{2K}, \quad \vartheta_1(v) = \sum_{n=0}^{\infty} (-1)^n 2^n q^{(n+\frac{1}{2})^2} \sin((2n+1)\pi v) \\ \vartheta_4(v) &= \sum_{n=0}^{\infty} (-1)^n 2^n q^n \cos((2n\pi v) - 1), \quad snu = \frac{1}{\sqrt{R}} \frac{\vartheta_1(v)}{\vartheta_4(v)}, \quad \phi = \sin^{-1}(sn u) \end{aligned} \quad (4)$$

②  $E(R, \phi)$  の計算: Landen の変換を用いて、 $R_p = (1-R')/(1+R')$ ,  $\tan(\phi_p - \phi) = R' \tan \phi$  以下同様に  $l = l$

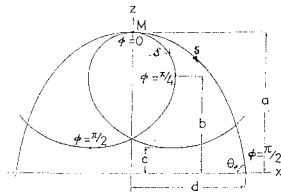


Fig. 1

$$E(R, \phi) = \lim_{n \rightarrow \infty} \frac{\pi}{2K} \phi_n + \sum_{n=1}^{\infty} \frac{R_m}{\prod_{n=1}^m (1+R_n)} \sin \phi_m - \sum_{n=1}^{\infty} \frac{(1-R_n)}{\prod_{n=1}^{\infty} (1+R_n)} F(R_{n-1}, \phi_{n-1}) \quad (5)$$

たゞ  $E(R, \phi) = R, \phi = \phi_0$  のとき  $m$  を充分に大きくとると ( $R_m \approx 0$  の程度まで), 近似的に

$$E(R, \phi) \approx \frac{\pi}{2K} \phi_m + \sum_{n=1}^m \frac{R_m}{\prod_{n=1}^m (1+R_n)} \sin \phi_m - \phi_{m-1} \cdot \prod_{n=1}^{m-1} (1+R_n) \cdot \sum_{n=1}^m \frac{(1-R_n)(1+R_n)}{2 \prod_{n=1}^{m-n} (1+R_n)^2} \quad (6)$$

$\therefore \pi/2K = 1/\prod_{n=1}^{\infty} (1+R_n)$ ,  $\phi_m \approx 2\phi_{m-1}$ . 例へば  $m=5$  とすると

$$\begin{aligned} E(R, \phi) &\approx \left\{ \frac{1}{(1+R_1)(1+R_2)(1+R_3)(1+R_4)} - \frac{1-R_4}{2(1+R_1)(1+R_2)(1+R_3)} - \frac{(1-R_3)(1+R_4)}{4(1+R_1)(1+R_2)} - \frac{(1-R_2)(1+R_3)(1+R_4)}{8(1+R_1)} \right. \\ &\quad \left. - \frac{(1-R_1)(1+R_2)(1+R_3)(1+R_4)}{16} \right\} \phi_4 + \frac{R_4}{(1+R_1)(1+R_2)(1+R_3)(1+R_4)} \sin \phi_4 + \frac{R_3}{(1+R_1)(1+R_2)(1+R_3)} \sin \phi_3 \\ &\quad + \frac{R_2}{(1+R_1)(1+R_2)} \sin \phi_2 + \frac{R_1}{(1+R_1)} \sin \phi_1 \end{aligned} \quad (7)$$

この式による計算精度は  $R \leq 0.99$  で小数 7 術まで,  $R=0.999$  で小数 6 術まで,  $R=0.9999$  で小数 5 術まで正確である。

③  $F(R, \phi)$  の計算: 比較的容易に計算され, 例へば精円函数論(友近)によると

$$F(R, \phi) = \prod_{n=1}^{\infty} (1+R_n) \lim_{n \rightarrow \infty} (\phi_n / 2^n) \quad (8)$$

$m$  を充分大きくとる ( $R_m \approx 0$ ,  $\phi_m = 2\phi_{m-1}$  の程度まで), 例へば  $m=5$  とすると

$$F(R, \phi) \approx \prod_{n=1}^m (1+R_n) (\phi_n / 2^n) \approx (1+R_1)(1+R_2)(1+R_3)(1+R_4)(\phi_4 / 2^4) \quad (9)$$

(4) 曲線設置: ここでは複曲点のある場合について述べる。ただし下記の①は複曲点のない場合も含まれる。設置始点は Fig. 1 の M 点でよりが, 各軸の平行移動などにより  $\theta$  のようにも取れる。特に複曲点のある場合 Fig. 2 の O 点を始点とすることを取扱つてみた。このとき式(2)の  $x, x'$  などは

$$\begin{aligned} \hat{x} &= x/A = K(R) - F(R, \phi) \\ \hat{x}' &= x'/A = \{2E(R, \pi/2) - K(R)\} - \{2E(R, \phi) - F(R, \phi)\} = \hat{d} - \hat{x}' \end{aligned} \quad (2')$$

曲線設置は, その設置始点からの曲線長が指定されることが多い。そのとき式(2), (2'), (3) の各式から  $F(R, \phi) \equiv k$  がえられ, これを式(4)から  $\phi$  が定められる。仕定点を  $m$  点とする。

① 座標による方法: 式(2), (2'), (3) より所要の  $x_m, x'_m$  を求める。

② 極座標による方法: Fig. 2 を参照し, 原点 O より  $y_m, L_m$  による。なお,  $y_m$  の代わりに接線よりの小れ角  $(\theta_0 - \theta_m)$  を用ひてもよい。

③  $y_m$  と  $(m-1)$  点からの弦長  $L_m$  による方法 (Fig. 2 参照)。

④ Fig. 3 の O 点および O' 点よりの小れ角  $\gamma_m, \beta_m$  による方法

⑤ Fig. 3 の O 点および O' 点よりの小れ角  $\gamma_m, \delta_m$  による方法

⑥ 弦 OM よりの小れ角  $\alpha_m, \beta_m$  による方法 (Fig. 4 参照)

⑦ トランペースによる方法

その他幾何の問題として種々考えることはできる。

(5) まとめ: 曲線設置のうち, 直線と円とを結ぶ複合曲線や Elastica の 2 曲線の接続条件などについては前報(35 年度講 IV-173)で述べたのでここには記してない。ここに述べた諸計算は实用上充分な精度で, ポログラム計算のごく小型電卓によつて計算することができる。Elastica の曲線は図上にスチールテープ片のような弾性薄板を用ひて簡単にその概型を知ることができる。

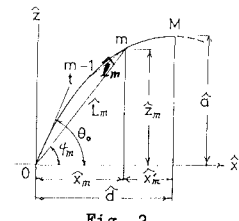


Fig. 2

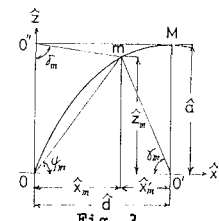


Fig. 3

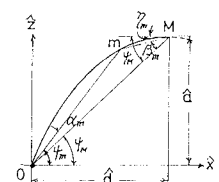


Fig. 4